



# Lupeccio

D'Onofrio C., 2015. Lupeccio. In: Italian Vitis Datababase. ISSN 2282-006X  
 release 27/05/2015, ultimo aggiorn. 04/08/2015 url <http://vitisdb.it/varieties/show/1122>

## Informazioni generali gestite da

Dipartimento di Scienze Agrarie, Alimentari e Agro-ambientali (DiSAAA-a) - Università di Pisa

## Ringraziamenti

Unione Comuni di Garfagnana; Fondazione AGER (AGER Fundation), Agricola San Felice (Siena)

## Informazioni botaniche

**nome** Lupeccio  
**tipo di origine** spontanea  
**specie** Vitis vinifera  
**gruppo di varietà** non disponibile  
**trueness to type** accertato con rilievi morfologici e microsatelliti  
**codice** IVD-var\_122

**genere** Vitis  
**sottospecie** sativa  
**vitigno da** vino

## True-name

confermato **si**

## Bibliografia correlata (1)

| autori          | anno | titolo | rivista | citazione   |
|-----------------|------|--------|---------|---|
| Costacurta<br>a | 1994 | Vite   |         | In: Carlo Delfino ed., Elenco delle cultivar autoctone italiane. Consiglio Nazionale delle Ricerche, Istituto per la fisiologia della maturazione e della conservazione del frutto delle specie arboree mediterranee (Roma). pp 136-151 |

## Registrazione

iscritto al Registro Nazionale delle Varietà di Viti no

## Sinonimi

nessun sinonimo disponibile per Lupeccio

## Accessione principale

**accessione principale** Lupeccio b (Garf-GV)  
**componente che l'ha inserita** Dipartimento di Scienze Agrarie, Alimentari e Agro-ambientali (DiSAAA-a) - Università di Pisa

## Accessioni standardizzate (1)

- Lupeccio b (Garf-GV) - Dipartimento di Scienze Agrarie, Alimentari e Agro-ambientali (DiSAAA-a) - Università di Pisa

## Tutte le accessioni (1)

- Lupeccio b (Garf-GV) - Dipartimento di Scienze Agrarie, Alimentari e Agro-ambientali (DiSAAA-a) - Università di Pisa

## Cloni omologati

Nessun clone disponibile per

## Profilo microsatellite standardizzato

| loci:       | loci predefiniti ( 9 ) |     |       |     |       |     |        |     |         |     |         |     |        |     |        |     |        |     |
|-------------|------------------------|-----|-------|-----|-------|-----|--------|-----|---------|-----|---------|-----|--------|-----|--------|-----|--------|-----|
|             | VVS2                   |     | VVMD5 |     | VVMD7 |     | VVMD27 |     | VrZAG62 |     | VrZAG79 |     | VVMD25 |     | VVMD28 |     | VVMD32 |     |
| allele:     | A1                     | A2  | A1    | A2  | A1    | A2  | A1     | A2  | A1      | A2  | A1      | A2  | A1     | A2  | A1     | A2  | A1     | A2  |
| dimensione: | 133                    | 145 | 227   | 239 | 239   | 249 | 181    | 183 | 188     | 190 | 247     | 259 | 240    | 242 | 247    | 261 | 253    | 273 |

Vi sono altri loci consultabili online

## Immagini



germoglio



germoglio pagina superiore



germoglio pagina inferiore



foglia



foglia pagina superiore



foglia pagina inferiore



seno peziolare



grappolo



acino

## Riferimenti storici

Il 'Lupeccio' è stato menzionato come vitigno toscano in Costacurta et al., (1994), e non sono disponibili ulteriori informazioni.

## Diffusione & variabilità

Il profilo microsatellite del 'Lupeccio' non corrisponde a nessuno dei profili presenti nei database viticoli, confermano, come subberito da Basso in Costacurta et al., (1994) che si tratti di un vitigno autoctono toscano.

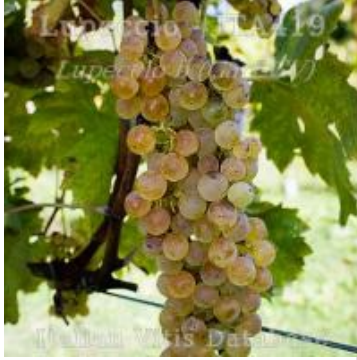
E' stato recentemente identificato in Garfagnana ed è presente anche a Siena nel vigneto collezione 'Vitarium' dell'Agricola San Felice (D'Onofrio et al., 2015).

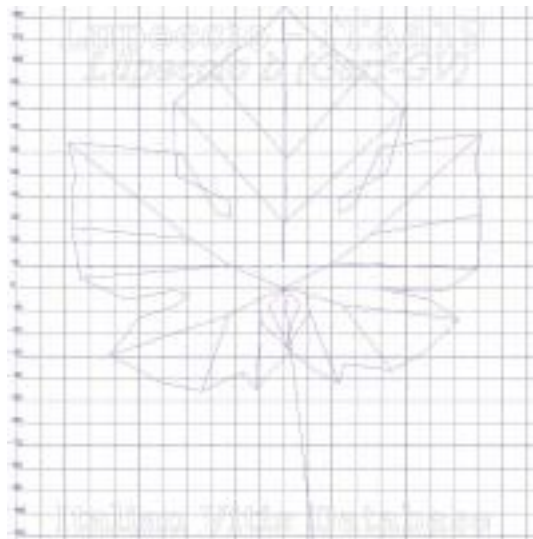
## Utilizzazione tecnologica

Matura abbastanza precocemente (seconda epoca), raggiungendo un grado zuccherino medio-alto conservando una buona acidità.

## Ampelografia

| OIV | descrizione   | valore |                             | immagini |
|-----|---|--------|-----------------------------|----------|
| 001 | Giovane germoglio: apertura dell'apice  | 5      | completamente aperto        |          |
| 003 | Giovane germoglio: intensità della pigmentazione antocianica dei peli striscianti dell'apice            | 1 / 3  | nulla o molto bassa / bassa |          |
| 004 | Giovane germoglio: densità dei peli striscianti dell'apice  | 5 / 7  | media / elevata             |          |
| 006 | Germoglio: portamento (prima della legatura)  | 1 / 3  | eretto / semi-eretto        |          |
| 007 | Germoglio: colore del lato dorsale degli internodi  | 2      | verde e rosso               |          |
| 008 | Germoglio: colore del lato ventrale degli internodi   | 1      | verde                       |          |
| 016 | Germoglio: numero di viticci consecutivi  | 1      | 2 o meno                    |          |
| 051 | Foglia giovane: colore della pagina superiore del lembo (4 a foglia)                                    | 2 / 3  | giallo / bronzato           |          |
| 053 | Foglia giovane: densità peli striscianti tra le nervature principali della pagina inferiore (4a foglia) | 5 / 7  | media / elevata             |          |
| 067 | Foglia adulta: forma del lembo  | 3      | pentagonale                 |          |
| 068 | Foglia adulta: numero dei lobi  | 3      | cinque                      |          |

|       |  |       |   |   |
|-------|--|-------|---|---|
| 070   | Foglia adulta: distribuzione pigmentazione antocianica nervature principali pagina superiore             | 1     | assente   |    |
| 072   | Foglia adulta: depressioni del lembo   | 1 / 3 | assenti o molto deboli / deboli                                   |   |
| 074   | Foglia adulta: profilo del lembo in sezione trasversale  | 1 / 5 | piano / contorto  |   |
| 075   | Foglia adulta: bollosità della pagina superiore del lembo  | 3 / 5 | bassa / media   |   |
| 076   | Foglia adulta: forma dei denti   | 2 / 3 | entrambi i lati rettilinei / entrambi i lati convessi             |   |
| 079   | Foglia adulta: grado di apertura / sovrapposizione dei bordi del seno peziolare                          | 3     | aperto  |   |
| 080   | Foglia adulta: forma della base del seno peziolare   | 1     | a U   |   |
| 081-1 | Foglia adulta: denti del seno peziolare  | 1     | assenti   |   |
| 081-2 | Foglia adulta: base del seno peziolare delimitata dalla nervatura  | 1     | non delimitata  |   |
| 083-2 | Foglia adulta: denti nei seni laterali superiori   | 1     | assenti   |   |
| 084   | Foglia adulta: densità dei peli striscianti tra le nervature principali sulla pagina inferiore del lembo | 3     | bassa   |   |
| 087   | Foglia adulta: densità dei peli eretti sulle nervature principali della pagina inferiore del lembo       | 5     | media   |   |
| 094   | Foglia adulta: profondità dei seni laterali superiori  | 5 / 7 | medio / profondo  |   |
| 151   | Fiore: organi sessuali   | 3     | stami completamente sviluppati e gineceo completamente sviluppato |   |
| 152   | Infiorescenza: livello d'inserzione della 1 a infiorescenza  | 2     | 3° e 4° nodo  |   |
| 155   | Tralcio: fertilità delle gemme basali (gemme 1-3)  | 3 / 5 | bassa (0,7-0,9) / media (1,1-1,3)                                 |   |
| 202   | Grappolo: lunghezza (escluso il peduncolo)   | 3 / 5 | corto / medio   |   |
| 204   | Grappolo: compattezza  | 5     | medio   |   |
| 206   | Grappolo: lunghezza del peduncolo del grappolo principale  | 5     | medio   |   |
| 208   | Grappolo: forma  | 1 / 2 | cilindrico / conico   |   |
| 209   | Grappolo: numero di ali del grappolo principale  | 1     | assenti   |  |
| 220   | Acino: lunghezza   | 3     | corto   |   |
| 221   | Acino: larghezza   | 3     | stretto   |   |
| 223   | Acino: forma   | 2     | sferoidale  |   |
| 235   | Acino: consistenza della polpa   | 3     | molto soda  |   |
| 236   | Acino: particolarità dell'aroma  | 1     | nessuna   |   |
| 241   | Acino: sviluppo dei vinaccioli   | 3     | completo  |   |

**Ampelometria****foglia ampelometrica**

OIV

| OIV | PDF | descrizione  | valore |                             |
|-----|-----|--|--------|-----------------------------|
|     |     |  |        |                             |
| 601 | PDF | Foglia adulta: lunghezza della nervatura N1  | 5      | media (135 mm)              |
| 602 | PDF | Foglia adulta: lunghezza della nervatura N2  | 5      | media (105 mm)              |
| 603 | PDF | Foglia adulta: lunghezza della nervatura N3  | 5      | media (75 mm)               |
| 604 | PDF | Foglia adulta: lunghezza della nervatura N4  | 9      | molto lunga (55 mm e oltre) |
| 605 | PDF | Foglia adulta: distanza dal seno peziolare al seno laterale superiore                              | 1      | molto corta (30 mm)         |
| 606 | PDF | Foglia adulta: distanza dal seno peziolare al seno laterale inferiore                              | 3      | corta (45 mm)               |
| 607 | PDF | Foglia adulta: angolo tra N1 e N2 misurato alla prima biforcazione                                 | 7      | grande (56°-70°)            |
| 608 | PDF | Foglia adulta: angolo tra N2 e N3 misurato alla prima biforcazione                                 | 5      | medio (46°-55°)             |
| 609 | PDF | Foglia adulta: angolo tra N3 e N4 misurato alla prima biforcazione                                 | 7      | grande (56°-70°)            |
| 610 | PDF | Foglia adulta: angolo tra N3 e la tangente tra il punto peziolare e l'estremità N5                 | 7      | grande (56°-70°)            |
| 612 | PDF | Foglia adulta: lunghezza del dente di N2   | 3      | corto (10 mm)               |
| 613 | PDF | Foglia adulta: larghezza del dente di N2   | 5      | medio (14 mm)               |
| 614 | PDF | Foglia adulta: lunghezza del dente di N4   | 3      | corto (10 mm)               |
| 615 | PDF | Foglia adulta: larghezza del dente di N4   | 5      | medio (14 mm)               |
| 617 | PDF | Foglia adulta: distanza tra l'estremità di N2 e l'estremità della prima nervatura secondaria di N2 | 7      | lunga (56-70 mm)            |

## Superampelo

| distanze  |         |                     |
|---|---------|---------------------|
| descrittore   | valore  | deviazione standard |
| Distanza dal seno peziolare al seno inferiore destro                                | 41.300  | 5.000               |
| Distanza dal seno peziolare al seno inferiore sinistro                              | 38.900  | 7.400               |
| Distanza dal seno peziolare al seno superiore destro                                | 41.100  | 5.700               |
| Distanza dal seno peziolare al seno superiore sinistro                              | 38.300  | 4.500               |
| Nervatura N3, lunghezza dal seno peziolare alla nervatura N4                        | 9.800   | 2.200               |
| Nervatura N3', lunghezza dal seno peziolare alla nervatura N4'                      | 11.400  | 3.400               |
| Lunghezza della nervatura N5  | 24.900  | 10.600              |
| Lunghezza della nervatura N5'   | 22.200  | 8.900               |
| Lunghezza della nervatura N4  | 46.100  | 7.000               |
| Lunghezza della nervatura N4'   | 43.100  | 7.000               |
| Distanza tra punto peziolare ed estremità della nervatura N4                        | 52.900  | 7.900               |
| Distanza tra punto peziolare ed estremità della nervatura N4'                       | 50.100  | 9.500               |
| Larghezza della foglia  | 173.200 | 12.900              |
| Lunghezza della foglia  | 174.000 | 15.900              |
| Lunghezza del picciolo  | 114.100 | 15.400              |
| Lunghezza della foglia compreso il picciolo   | 239.800 | 27.500              |
| Distanza tra gli estremi delle nervature N2 e N2'                                   | 171.000 | 13.500              |
| Lunghezza della nervatura N1  | 125.600 | 12.700              |
| Distanza tra gli estremi delle nervature N4 e N4'                                   | 48.900  | 30.500              |
| Distanza tra gli estremi delle nervature N3 e N3'                                   | 145.900 | 21.600              |
| Lunghezza della nervatura N2  | 107.400 | 8.100               |
| Larghezza del seno peziolare / Distanza tra i punti SP e SP'                        | -5.600  | 13.900              |
| Lunghezza della nervatura N3  | 74.900  | 8.200               |
| Lunghezza della nervatura N2'   | 110.300 | 10.900              |
| Distanza tra estremità di N2 e estremità della prima ramificazione laterale di N2   | 56.000  | 11.700              |
| Lunghezza della nervatura N3'   | 78.400  | 11.400              |
| Distanza tra estremità di N2' e estremità della prima ramificazione laterale di N2' | 68.500  | 10.300              |

| angoli  |        |                     |
|---|--------|---------------------|
| descrittore   | valore | deviazione standard |
| Angolo tra N1 e N2 misurato alla prima biforcazione                   | 60.900 | 7.600               |
| Angolo tra N2 e N3 misurato alla prima biforcazione                   | 44.900 | 15.100              |
| Angolo tra N1 e N2' misurato alla prima biforcazione                  | 66.100 | 4.700               |
| Angolo tra N3 e N4 alla prima biforcazione di N3                      | 54.300 | 21.100              |
| Angolo tra N2' e N3' misurato alla prima biforcazione                 | 50.000 | 7.700               |
| Angolo tra N1 e N2 misurato agli estremi delle nervature              | 50.100 | 8.100               |
| Angolo tra N3' e N4'  | 61.100 | 10.200              |
| Angolo tra N2 e N3 misurato agli estremi delle nervature              | 51.300 | 8.600               |
| Angolo tra N1 e N2' misurato agli estremi delle nervature             | 54.200 | 5.800               |
| Angolo tra N3 e N4 misurato agli estremi delle nervature              | 45.100 | 12.600              |
| Angolo tra N2' e N3' misurato agli estremi delle nervature            | 58.800 | 8.400               |
| Angolo di apertura del seno peziolare misurato a SP e SP'             | 28.900 | 13.100              |
| Angolo tra N3' e N4' misurato agli estremi delle nervature            | 46.400 | 12.700              |
| Angolo tra S e S' con centro in N1                                    | 27.100 | 3.200               |
| Angolo tra D e D' con centro in N1                                    | 92.000 | 6.500               |
| Angolo tra N3 e la tangente tra il punto peziolare e l'estremità N5   | 70.900 | 15.800              |
| Angolo tra I e I' con centro in N1                                    | 34.700 | 3.700               |
| Angolo tra N3' e la tangente tra il punto peziolare e l'estremità N5' | 67.900 | 8.500               |

| rapporti   |           |                     |
|--|-----------|---------------------|
| descrittore  | valore    | deviazione standard |
| Media della base dei denti del lato sinistro   | 6.959     | 1.343               |
| Media della base dei denti del lato destro   | 7.448     | 2.085               |
| Media dell'altezza dei denti del lato sinistro   | 5.698     | 1.985               |
| Rapporto tra l'altezza e la base del dente all'estremità della nervatura N4'   | 0.921     | 0.675               |
| Media dell'altezza dei denti del lato destro   | 5.995     | 1.985               |
| Rapporto tra l'altezza e la base del dente all'estremità della nervatura N2'   | 0.604     | 0.091               |
| Rapporto tra l'altezza e la base del dente all'estremità della nervatura N4  | 0.754     | 0.402               |
| Rapporto tra l'altezza e la base dei denti del lato sinistro   | 0.807     | 0.177               |
| Rapporto tra l'altezza e la base del dente all'estremità della nervatura N2  | 0.730     | 0.197               |
| Rapporto tra la somma degli angoli a' + b' e la somma della distanza tra il seno peziolare e il seno superiore sinistro OS' e il seno peziolare e il seno inferiore sinistro OI' | 0.027     | 0.005               |
| Rapporto tra l'altezza e la base dei denti del lato destro   | 0.867     | 0.371               |
| Rapporto tra la lunghezza della nervatura N5' e la lunghezza della nervatura N1  | 0.176     | 0.067               |
| Rapporto tra la somma degli angoli a + b e la somma della distanza tra il seno peziolare e il seno superiore destro OS e il seno peziolare e il seno inferiore destro OI         | 0.023     | 0.006               |
| Rapporto tra la lunghezza della nervatura N4' e la lunghezza della nervatura N1  | 0.343     | 0.042               |
| Rapporto tra la lunghezza della nervatura N5 e la lunghezza della nervatura N1   | 0.200     | 0.083               |
| Rapporto tra la lunghezza della nervatura N3' e la lunghezza della nervatura N1  | 0.624     | 0.073               |
| Rapporto tra la lunghezza della nervatura N4 e la lunghezza della nervatura N1   | 0.368     | 0.054               |
| Rapporto tra la lunghezza della nervatura N2' e la lunghezza della nervatura N1  | 0.880     | 0.073               |
| Rapporto tra la lunghezza della nervatura N3 e la lunghezza della nervatura N1   | 0.599     | 0.069               |
| Rapporto tra la distanza dal seno peziolare al seno inferiore sinistro OI' e la lunghezza della nervatura N3'  | 0.496     | 0.057               |
| Rapporto tra la lunghezza della nervatura N2 e la lunghezza della nervatura N1   | 0.858     | 0.051               |
| Rapporto tra la distanza dal seno peziolare la lunghezza della nervatura N2'   | 0.348     | 0.035               |
| Rapporto tra la distanza dal seno peziolare al seno inferiore destro OI e la lunghezza della nervatura N3  | 0.555     | 0.077               |
| Prodotto di Lunghezza e larghezza della foglia   | 30253.000 | 4417.000            |
| Rapporto tra la lunghezza del picciolo OP e la lunghezza della nervatura N1  | 0.906     | 0.059               |
| Rapporto tra Lunghezza e larghezza della foglia  | 1.006     | 0.078               |
| Rapporto tra la distanza dal seno la lunghezza della nervatura N2  | 0.383     | 0.045               |

**Bibliografia (2)**

| autori   | anno | titolo   | rivista                                     | citazione   |
|--|------|--|---|---|
| Costacurta a   | 1994 | Vite   |   | In: Carlo Delfino ed., Elenco delle cultivar autoctone italiane. Consiglio Nazionale delle Ricerche, Istituto per la fisiologia della maturazione e della conservazione del frutto delle specie arboree mediterranee (Roma). pp 136-151 |
| D'Onofrio C., Fausto C., Matarese F., Materazzi A., Scalabrelli G., Fiorani F., Poli I., | 2015 | Genotyping of Grapevine Varieties from Garfagnana (Northern Tuscany): Evidence of a Historical Centre of Diversity | American Journal of Enology and Viticulture | Am. J. Enol. Vitic. 67: 120-126   |